

4. Колпаков А. Г. Эффективные жесткости композиционных пластинок // ПММ.— 1982.— Т. 46, вып. 2.
5. Тихонов А. Н., Арсенин В. Я. Методы решения некорректных задач.— М.: Наука, 1986.
6. Алексеев В. М., Тихомиров В. М., Фомин С. В. Оптимальное управление.— М.: Наука, 1979.
7. Колпаков А. Г. Усредненные характеристики слоистых композитов (численный алгоритм) // Численные методы решения задач теории упругости и пластичности: Материалы IX Всесоюз. конф.— Новосибирск: ИТПМ СО АН СССР, 1986.
8. Анин Б. Д., Колпаков А. Г. Проектирование слоистых композитов с заданными деформационно- прочностными характеристиками // Механика композит. материалов.— 1987.— № 1.
9. Лурье К. А., Черкаев А. В. Регуляризация проблемы оптимального проектирования неоднородных упругих тел с помощью композиционных материалов // V Всесоюз. съезд по теор. и прикл. механике.— Алма-Ата: Наука, 1981.

г. Новосибирск

Поступила 9/II 1988 г.

УДК 533.6.011.8 : 533.694.71/72

*A. B. Ботин, B. N. Гусев, B. P. Провоторов*

## ГИПЕРЗВУКОВОЕ ОБТЕКАНИЕ ЗАТУПЛЕННЫХ КРОМОК ПРИ МАЛЫХ ЧИСЛАХ РЕЙНОЛЬДСА

При планирующем спуске с орбиты летательный аппарат подвергается интенсивному нагреванию в континуальной области обтекания. В то же время даже при относительно низких высотах полета и малых радиусах затупления отдельных элементов летательного аппарата и, следовательно, при малых значениях локального числа Рейнольдса в этих областях ударную волну уже нельзя рассматривать как разрыв, на котором выполняются соотношения Рэнкина — Гюгонио, и влияние вязкости не будет ограничено тонким пограничным слоем. При гиперзвуковых скоростях из-за большой энергии потока в возмущенной области течения существенными могут стать такие физико-химические процессы, как гетерогенные химические реакции, диссоциация, возбуждение колебательных, вращательных и поступательных степеней свободы молекул.

Первоначально основным источником информации в рассматриваемой переходной области был эксперимент. В последующем для однородного газа стали успешно применяться численные методы решения уравнения Больцмана, среди которых наибольшее развитие получил метод прямого статистического моделирования Монте-Карло. Однако при учете физико-химических процессов в воздухе такие исследования пока, как правило, проводятся лишь с помощью уравнений Навье — Стокса или их моделей с граничными условиями скольжения и скачка температуры. Строгого обоснования применимости этих уравнений нет, однако многочисленные сопоставления с результатами экспериментов и численных расчетов кинетического уравнения Больцмана для однородного газа показывают, что уравнения Навье — Стокса могут успешно использоваться при изучении гиперзвуковых течений при малых числах Рейнольдса. Современное состояние вопроса в данной области содержится в [1].

Ниже в рамках теории тонкого вязкого ударного слоя проведено численное исследование обтекания затупленных кромок и носовых частей гиперзвукового летательного аппарата, сравниваются полученные результаты с экспериментальными данными.

1. Проведенный в [2] анализ показал, что в переходной области при скоростях, меньших или порядка первой космической, неравновесные физико-химические процессы в воздухе оказывают относительно слабое влияние на процессы передачи импульса и энергии элементу поверхности обтекаемого тела. На этих режимах в первом приближении состав воздуха можно считать замороженным и течение в тонком вязком ударном слое в окрестности затупленной кромки описывать следующей системой уравнений:

$$(1.1) \quad \frac{\partial}{\partial z'} (h_2' \rho' u') + \frac{\partial}{\partial n'} (h_1' h_2' \rho' v') = 0,$$

$$\begin{aligned}\rho' \left( \frac{u'}{h'_1} \frac{\partial u'}{\partial s'} + v' \frac{\partial u'}{\partial n'} \right) &= -\frac{\varepsilon}{2h'_1} \frac{\partial p'_w}{\partial s'} + m \frac{\partial}{\partial n'} \left( \mu' \frac{\partial u'}{\partial n'} \right), \\ \frac{\partial p'}{\partial n'} &= 2k' \rho' u'^2, \quad \rho' \left( \frac{u'}{h'_1} \frac{\partial w'}{\partial s'} + v' \frac{\partial w'}{\partial n'} \right) = m \frac{\partial}{\partial n'} \left( \mu' \frac{\partial w'}{\partial n'} \right), \\ \rho' \left( \frac{u'}{h'_1} \frac{\partial H'}{\partial s'} + v' \frac{\partial H'}{\partial n'} \right) &= m \left[ \frac{\partial}{\partial n'} \left( \frac{\mu'}{\text{Pr}} \frac{\partial H'}{\partial n'} \right) + \left( 1 - \frac{1}{\text{Pr}} \right) \frac{\partial}{\partial n'} (u'^2 + w'^2) \right], \\ p' &= 2\rho'h', \quad \mu' = \mu'(h').\end{aligned}$$

Здесь и ниже  $s'R$ ,  $\varepsilon n'R$  — координаты, связанные с внешней нормалью к поверхности тела;  $R$  — радиус кривизны в критической точке;  $h_1$ ,  $h_2$  — коэффициенты Ламэ;  $k'/R$  — кривизна поверхности;  $u'U_\infty$ ,  $\varepsilon v'U_\infty$ ,  $w'U_\infty$  — составляющие скорости вдоль касательного, нормального и би-нормального направлений к телу соответственно;  $U_\infty$  — скорость невозмущенного потока;  $\rho'\rho_\infty/\varepsilon$  — плотность;  $p'\rho_\infty U_\infty^2/2$  — давление;  $h = c_p T = h'U_\infty^2/2$  — энтальпия;  $H' = h' + u'^2 + w'^2$ ;  $\mu'\mu_0$  — вязкость;  $\gamma$  — отношение удельных теплоемкостей;  $\text{Pr}$  — число Прандтля;  $\text{Re}_0 = \rho_\infty U_\infty R / \mu_0$  — число Рейнольдса, подсчитанное по коэффициенту вязкости  $\mu_0$  при температуре торможения  $T_0 = U_\infty^2/2c_p$ ;  $\varepsilon = (\gamma - 1)/2\gamma$ ;  $m = (\varepsilon \text{Re}_0)^{-1}$ ; штрихом отмечены безразмерные величины; индексы  $\infty$  и  $w$  относятся к параметрам на бесконечности и на поверхности тела.

Предполагаем, что система (1.1) удовлетворяет на поверхности тела граничным условиям скольжения и скачка температуры

$$(1.2) \quad \begin{aligned}u' &= \frac{2 - a_1 \beta_1}{\beta_1} (2\pi\varepsilon h')^{1/2} \frac{m\mu'}{p'} \frac{\partial u'}{\partial n'}, \quad \rho'v' = (\rho'_w v'_w) = g_w, \\ w' &= \frac{2 - a_1 \beta_1}{\beta_1} (2\pi\varepsilon h')^{1/2} \frac{m\mu'}{p'} \frac{\partial w'}{\partial n'}, \\ h' &= h'_w + \frac{2 - a_2 \beta_2}{\beta_2} (2\pi\varepsilon h')^{1/2} \frac{2\gamma}{\gamma + 1} \frac{m\mu'}{p' \text{Pr}} \frac{\partial h'}{\partial n'}.\end{aligned}$$

Коэффициенты аккомодации  $\beta_i$ : во всех расчетах, кроме вариантов, где исследовалось их влияние, полагались равными единице,  $a_1 = 0,988$ ,  $a_2 = 0,827$ .

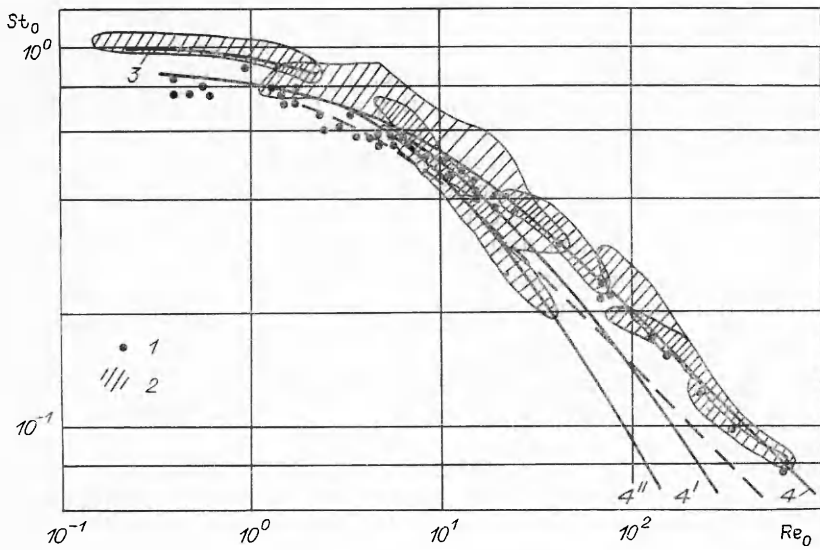
На внешней границе ударного слоя использовались обобщенные условия Рэнкина — Гюгонио:

$$(1.3) \quad \begin{aligned}\rho'v' &= -\cos \chi \sin \sigma, \quad p' = 2 \cos^2 \chi \sin \sigma, \\ \cos \chi \sin \sigma (\cos \chi \cos \sigma - u') &= m\mu' \partial u' / \partial n', \\ \cos \chi \sin \sigma (\sin \chi - w') &= m\mu' \partial w' / \partial n', \\ \cos \chi \sin \sigma (H'_\infty - H') &= m\mu' \left[ \frac{1}{\text{Pr}} \frac{\partial H'}{\partial n'} + \left( 1 - \frac{1}{\text{Pr}} \right) \frac{\partial}{\partial n'} (u'^2 + w'^2) \right],\end{aligned}$$

где  $\chi$  — угол между вектором скорости невозмущенного потока и плоскостью, перпендикулярной передней кромке поверхности (угол стреловидности);  $\sigma$  — угол наклона поверхности скачка к плоскости симметрии тела.

Для зависимости коэффициента вязкости воздуха от температуры в численных расчетах использовалась аппроксимация  $\mu_*(T)$ , предложенная в [3], которая при малых температурах линейна, при умеренных соответствует закону Сазерленда, а при больших близка к степенной с показателем степени  $n = 0,67$  и  $0,85$ .

При численном интегрировании система (1.1) с граничными условиями (1.2), (1.3) преобразовывалась к новым переменным типа Дородницына — Лиза и решалась конечно-разностным методом [4]. Расчеты охватывают широкий диапазон изменения параметров подобия и прово-



Р и с. 1

дились для течений с осевой и плоской симметрией для тел, образующие которых задавались кривыми второго порядка.

2. Для гиперзвуковых течений с замороженным составом воздуха остаются справедливыми законы подобия, сформулированные для термодинамически совершенного газа. Согласно им, условия моделирования таких течений будут выполнены при равенстве критериев подобия: числа Маха  $M_\infty$ ,  $Re_0$ , температурного фактора  $t_w = T_w/T_0$ ,  $\gamma$ , набора параметров  $\alpha_i$ , определяющих переносные свойства воздуха, и  $\beta_i$ .

Выбор системы критериев подобия, включающей  $Re_0$ , объясняется здесь следующими причинами. Во-первых, она не изменяется в предельном случае обтекания при  $M_\infty \rightarrow \infty$ . Во-вторых, на режиме гиперзвуковой стабилизации использование критерия  $Re_0$  позволяет скоррелировать результаты не только при изменении  $M_\infty$ , но в ряде случаев и при изменении других параметров подобия [5]. И в-третьих, при  $U_\infty = \text{const}$  из условия  $Re_0 = \text{const}$  вытекает выполнение закона бинарного подобия  $\rho_\infty R = \text{const}$  при моделировании неравновесных течений вблизи обтекаемого тела [2].

Влияние указанных выше критериев подобия на аэродинамические и тепловые характеристики затупленных кромок при малых  $Re_0$  можно оценить на примере течения в окрестности осесимметричной критической точки ( $j = 1$ ), изучению которой посвящено значительное число работ. Анализ этих данных показывает, что в переходной области заметно влияют на обтекание затупленного тела переносные свойства среды и степень охлаждения поверхности тела [3]. При  $t_w = O(1)$  достаточно большими здесь оказываются эффекты скольжения на поверхности тела, а при малых  $Re_0$  — и на ударной волне. Учет их существенно сближает полученные с помощью уравнений Навье — Стокса расчетные данные с экспериментальными. Лишь при достаточно малых значениях  $t_w$  ( $\leq 0,1$ ) и строгом моделировании переносных свойств среды роль перечисленных выше эффектов становится пренебрежимо малой. Это, например, следует из приведенной на рис. 1 зависимости числа Стантона  $St_0 = q_{w0}/c_p \rho_\infty U_\infty \times T_0 (1 - t_w)$  от  $Re_0$  (экспериментальные 1, 2 и расчетные 3 данные заимствованы из [6—8] соответственно, расчетные 4 получены в приближении тонкого вязкого ударного слоя). Согласие между всеми расчетными и экспериментальными результатами вполне удовлетворительное.

Для критической линии ( $j = 0$ ) с углом стреловидности  $\chi$  результаты аналогичного изучения в приближении вязкого ударного слоя приведены ниже. В отличие от [9, 10] для исследования вопросов моделиро-

вания рассмотрены, как и в [3], такие режимы обтекания: 1)  $U_\infty = 7,8$  км/с,  $M_\infty \gg 1$ ,  $0,02 \leq t_w \leq 0,05$ ; 2)  $M_\infty = 15$ ,  $T_0 = 2000$  К,  $t_w = 0,15$ ; 3)  $M_\infty = 6,5$ ,  $T_0 = 1000$  К,  $t_w = 0,3$ . Остальные критерии подобия во всех случаях одинаковы:  $\gamma = 1,4$ ,  $Pr = 0,71$ ,  $\beta_i = 1$ ; зависимость коэффициента вязкости от температуры соответствовала аппроксимации  $\mu_*(T)$ . Первый из рассмотренных вариантов отвечает натурным условиям обтекания при замороженном составе воздуха, второй и третий реализуются в гиперзвуковых и вакуумных аэродинамических трубах.

Расчеты, проведенные при  $2 \leq Re_0 \leq 10^3$  и  $0 \leq \chi \leq 75^\circ$ , показали, что относительная теплопередача на критической линии  $St'_0(\chi) = St_0(\chi)/St_0$  ( $St_0$  — число Стантона при  $\chi = 0$ ) определяется зависимостью

$$(2.1) \quad St'_0(\chi) = (\cos \chi)^{a_0 + a_1 t_w + a_2 t_w^2},$$

где  $a_0 = 1,36 - 0,26 Re_0^{-1/2} + 0,03 Re_0^{-1}$ ;  $a_1 = -1,01 + 1,29 Re_0^{-1/2} - 0,52 Re_0^{-1}$ ;  $a_2 = 1,07 + 7,6 Re_0^{-1/2} - 9,06 Re_0^{-1}$ .

Так же как и при осевой симметрии, теплообмен на критической линии при  $t_w \leq 0,1$  практически не зависит от степени охлаждения поверхности тела. Соответствующие этому случаю значения  $St_0$  приведены на рис. 1 (штриховая линия).

Для других величин, таких как коэффициент продольного трения  $C_f$  и толщина ударного слоя  $n_s$ , аналогичные соотношения не зависят от  $t_w$  во всем рассмотренном диапазоне изменения параметров подобия:

$$(2.2) \quad c'_{f0}(\chi) = c_{f0}(\chi)/c_{f0} = (\cos \chi)^{b_0}, \quad b_0 = 1,34 - 1,03 Re_0^{-1/2} - 0,73 Re_0^{-1},$$

$$n'_{s0}(\chi) = n_{s0}(\chi)/n_{s0} = (\cos \chi)^{c_0}, \quad c_0 = -0,26 - 2,24 Re_0^{-1/2} + 1,92 Re_0^{-1}.$$

Погрешность предложенных аппроксимаций на указанных режимах при  $\chi \leq 60^\circ$  не превышает 5% и достигает 10% при  $\chi = 75^\circ$ .

При неполной аккомодации импульса и энергии на поверхности тела дополнительные численные исследования показали, что при  $0,5 \leq \beta_i \leq 1$  изменения в  $St_0$  оказались максимальными при  $t_w = O(1)$  и доходили до 30% при  $Re_0 = 2$ . С ростом  $Re_0$  и уменьшением  $t_w$  влияние этих процессов на теплопередачу уменьшалось.

3. В континуальной области течения эффективным средством снижения тепловых потоков к телу является вдув охлаждающего газа. Известно, что с уменьшением  $Re_0$  влияние этого процесса на теплообмен уменьшается, исчезая в предельном случае свободномолекулярного обтекания. Для количественной оценки этого влияния воспользуемся результатами численного изучения уравнений тонкого вязкого ударного слоя (1.1).

Для критической точки и линии при  $\chi = 0$  результаты таких систематических исследований даны в [11], где получена универсальная зависимость относительной теплопередачи при вдуве однородного газа  $St'_{0j} = St_{0j}/St_0$  от обобщенного параметра  $F_0 = g_w \sqrt{Re_0}/[(1+j)^{1/4} \times (1+2t_w^{1/3} Re_0^{1/2})]$ , объединяющего критерии подобия  $Re_0$ ,  $t_w$ ,  $g_w$ .

Заимствованные из этой работы значения  $St_{0j}$  в критической точке, отвечающие натурным условиям обтекания при  $g_w = 0,1$  и  $0,2$ , приведены на рис. 1 (кривые 4' и 4'' соответственно). При уменьшении  $Re_0$  эффективность однородного с внешним потоком вдува снижается, однако при  $Re_0 = 10^2$  она еще значительна. При меньших  $Re_0$  больший эффект может быть достигнут при вдуве инородного газа. Проведенные расчеты с гелием показывают, что эффективность инородного вдува сохраняется даже при  $Re_0 = 10$ .

При  $\chi \neq 0$  аналогичные расчеты, проведенные в широком диапазоне изменения критериев подобия, показывают, что полученные при  $g_w = 0$  выражения для относительных параметров  $St'_0(\chi)$ ,  $c'_{f0}(\chi)$ ,  $n'_{s0}(\chi)$  (2.1), (2.2) с погрешностью, не превышающей 6% при  $\chi \leq 60^\circ$ , сохраняются и при слабом вдуве. Некоторые результаты сравнения для теплопередачи  $St'_0(\chi)$  при  $Re_0 = 10$ ,  $M_\infty \gg 1$ ,  $t_w = 0,02$  даны в таблице.

Перейдем к оценке эффективности слабого сосредоточенного вдува. Пусть в окрестности критической точки тела через отверстие радиуса  $r_*$  вдувается газ с расходом  $Q_w$ . В этом случае второе из граничных условий (1.2) на поверхности тела запишется в виде

$$(3.1) \quad \rho'v' = \bar{g}_w = Q_w/\pi\rho_\infty U_\infty r_*^2 \quad \text{при} \quad 0 \leq r \leq r_*, \quad \rho'v' = 0 \quad \text{при} \quad r > r_*$$

( $r$  — расстояние от оси симметрии до образующей тела). Поставим в соответствие сосредоточенному вдуву с разрывными граничными условиями

$g_w$	St <sub>0</sub> (x)					$g_w$	St <sub>0</sub> '(x)					
	x, град						x, град					
	15	30	45	60	75		15	30	45	60	75	
0	0,950	0,811	0,610	0,386	0,176	0,19	0,951	0,813	0,619	0,400	0,190	
0,10	0,950	0,812	0,615	0,393	0,183	0,32	0,943	0,805	0,627	0,408	0,200	

(3.1) на поверхности тела непрерывный пикообразный вдув

$$(3.2) \quad g_w = g_{w0} e^{-\alpha(r'/r'_*)^2}$$

с тем же самым суммарным расходом  $Q_w$ , он уже через всю поверхность тела

$$\bar{g}_w = 2g_{w0} \int_0^{s_*} e^{-\alpha(r'/r'_*)^2} r' ds',$$

где  $s_*$  — значение длины в ньютоновской точке отрыва.

Численное интегрирование уравнений (1.1) с граничным условием (3.2) было выполнено для сферической поверхности при нескольких значениях  $g_{w0}/\bar{g}_w$ . При трубных условиях ( $Re_0 = 48$ ,  $M_\infty = 6,5$ ,  $t_w = 0,3$ ,  $\gamma = 1,4$ ) результаты этих расчетов по теплопередаче приведены на рис. 2 ( $1 - \bar{g}_w = 0$ ;  $2 - g_{w0}/\bar{g}_w = 1$ ;  $3 - g_{w0}/\bar{g}_w = 1,5$ ;  $4 - g_{w0}/\bar{g}_w = 2,5$ ). Они показывают, что влияние сосредоточенного вдува локализуется вблизи зоны вдува и не распространяется вдоль образующей тела.

Аналогичный результат получен и в экспериментах, проведенных в вакуумной аэродинамической трубе при указанных выше условиях. Испытания проводились на сферической модели, изготовленной из эбонита. Вдув охлаждающего газа (воздуха или гелия) осуществлялся через отверстие радиуса  $r_* = R/30$  в критической точке сферы. Расход газа определялся по падению давления в расходном бачке фиксированного объема при истечении из него газа через мерные шайбы различных диаметров.

Для измерения тепловых потоков использовался метод термоиндикаторных покрытий. В эксперименте применялись одно- и двухслойные термоиндикаторы с критическими температурами  $T_* = 50-66^\circ\text{C}$ . Методические вопросы использования этого метода в вакуумных аэродинамических трубах даны в [12].

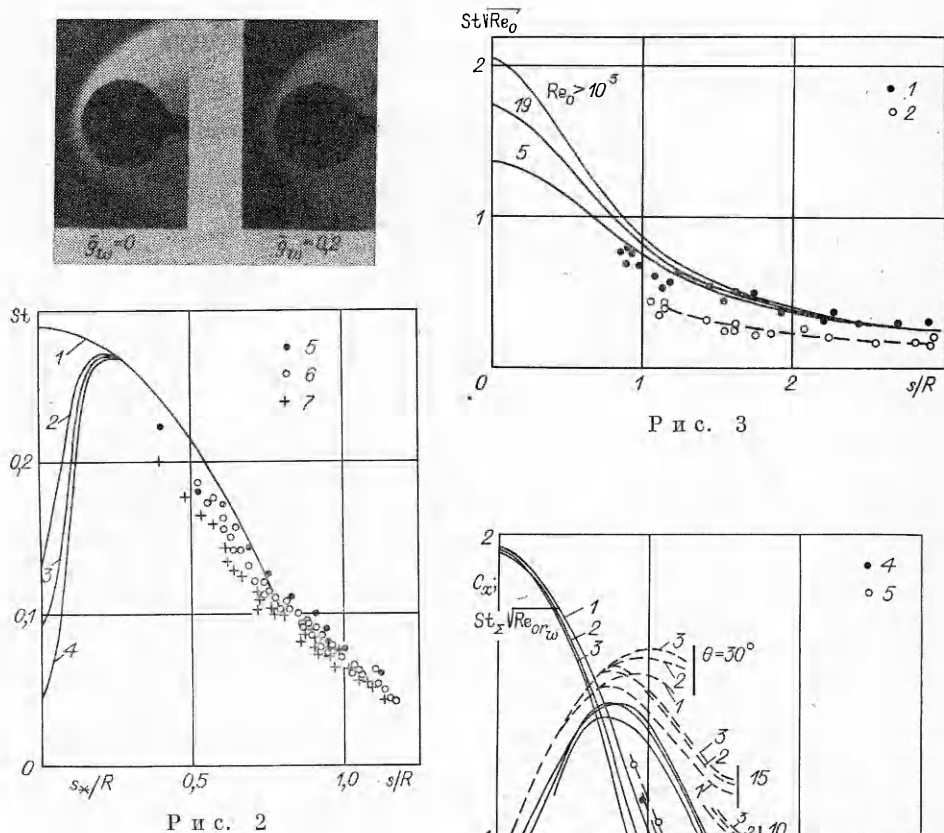
Результаты экспериментов приведены на рис. 2. Распределение St по поверхности сферы при  $s' > 0,4$  в пределах погрешности метода оказалось одним и тем же при всех значениях относительного расхода вдуваемого газа ( $5 - \bar{g}_w = 0$ ;  $6 - \text{воздух}, \bar{g}_w \leq 0,32$ ;  $7 - \text{гелий}, \bar{g}_w \leq 0,02$ ). На локализацию возмущений вблизи зоны сосредоточенного вдува указывают и приведенные на рис. 2 фотографии обтекания, полученные с помощью метода тлеющего разряда.

4. Рассмотрим влияние формы затупления на сопротивление  $C_x$  и суммарный тепловой поток  $St_\Sigma$ , приходящийся на омыываемую поверхность кромки  $s$  с характерным размером миделева сечения  $r_w$ :

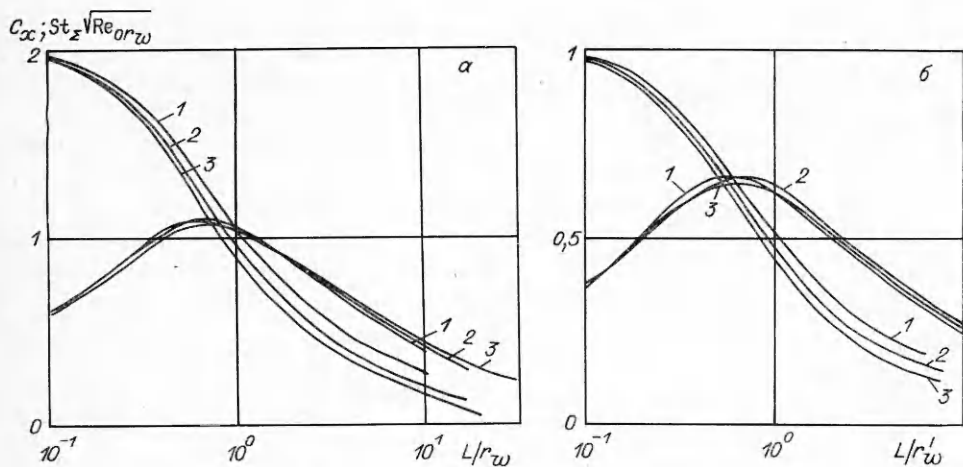
$$(4.1) \quad C_x = \frac{1}{\pi^j r_w^{j+1}} \int_s (p' \sin \theta + c'_f \cos \theta) ds, \quad St_\Sigma = \frac{1}{\pi^j r_w^{j+1}} \int_s St ds.$$

Как показал предыдущий анализ, при малых числах Рейнольдса ( $Re_0 < 10^2$ ) существенными в окрестности критической точки (линии) становятся эффекты разреженности среды. Их учет при определении входящих в выражения (4.1) локальных характеристик  $p'$ ,  $c_f$ ,  $St$  требует строгого выполнения условий моделирования по всему указанным выше критериям подобия. Например, при несоответствии температурных факторов в натурных и трубных экспериментах разница между значениями  $St$  при  $Re_0 = O(1)$  может достигать 40%.

По мере удаления от критической точки тела роль эффектов разреженности на течение будет уменьшаться, и для локальных характеристик устанавливаются хорошо известные функциональные связи, вытекающие из теории пограничного слоя. Это, например, следует из приведенных на рис. 3 расчетных (сплошные линии) и экспериментальных (точки 1 [13]) данных по локальной теплопередаче вдоль поверхности параболоида вращения ( $5 \leq Re_0 \leq 19$ ,  $M_\infty = 6,5$ ,  $t_w = 0,3$ ,  $\gamma = 1,4$ ). При  $s/R \geq 2$  экспериментальные данные



экспериментальные и расчетные значения  $St\sqrt{Re_0}$  перестают зависеть от  $Re_0$  и приближаются к предельной зависимости, соответствующей  $Re_0 > 10^3$ . Аналогичный вывод подтверждается и экспериментальными результатами [13] по теплопередаче, полученными для затупленного конуса с углом раствора  $2\theta = 20^\circ$  при  $2,6 \leq Re_0 \leq 8,6$  (точки 2 на рис. 3).



Р и с. 5

Результаты численных расчетов суммарных аэродинамических и тепловых характеристик осесимметричных тел ( $j = 1$ ), образующие которых задавались в виде парабол (сплошные линии) и гипербол с асимптотическими углами полурасщора  $\theta = 3, 10, 15, 30^\circ$  (птичковые), представлены на рис. 4, где показано изменение  $C_x$  и  $St_\Sigma \sqrt{Re_{0r_w}}$  в зависимости от относительной длины тела  $L/r_w$  при натурных условиях обтекания ( $M_\infty \gg 1, 0,02 \leq t_w \leq 0,05$ ) при нескольких фиксированных значениях  $Re_{0r_w} = \rho_\infty U_\infty r_w / \mu_0$  ( $Re_{0r_w} = 16; 32; 64$  — кривые 1—3). Вертикальными линиями отмечены предельные значения  $L_*/r_w$  для гиперболоидов, при которых  $R/r_w = 0$ .

Приведенные данные показывают, что при фиксированном значении миделя сопротивление параболоида  $C_x$  монотонно уменьшается с ростом  $L/r_w$ , а суммарный тепловой поток  $St_\Sigma$ , приходящийся на его омываемую поверхность, изменяется немонотонно, достигая максимума при конечном удлинении тела. При уменьшении  $L/r_w$  этот эффект очевиден, так как связан с уменьшением теплового потока в критической точке тела при росте радиуса кривизны  $R$ . Более интересен результат, полученный при увеличении относительной длины тела: несмотря на значительный рост локального теплового потока в критической точке тела при  $R \rightarrow 0$ , суммарный тепловой поток к телу в исследованном диапазоне изменения  $L/r_w$  уменьшается.

Для тел с  $\theta = \text{const}$  (гиперболоид, затупленный конус) уменьшение суммарных аэродинамических и тепловых характеристик при увеличении  $L/r_w$  продолжается не до предельных значений  $L_*/r_w$ , соответствующих обтеканию заостренного тела. Минимальные значения этих характеристик достигаются при конечных значениях радиуса кривизны тела в критической точке. Для суммарного теплообмена это следует из приведенных на рис. 4 расчетных зависимостей  $St_\Sigma \sqrt{Re_{0r_w}}$  для гиперболоидов, для  $C_x$  — из приведенных там же экспериментальных данных для затупленных конусов, полученных в вакуумной аэродинамической трубе при  $20 \leq Re_0 \leq 40, M_\infty = 6,5, t_w = 0,3, \gamma = 1,4$  (4, 5 для  $\theta = 20; 30^\circ$ ).

При  $L/r_w = O(1)$ , когда течение вблизи затупленного тела определяется в основном особенностями течения в окрестности критической точки, его суммарные аэродинамические и тепловые характеристики при малых  $Re_0$  будут зависеть от всей совокупности параметров подобия, определяющих гиперзвуковое обтекание тел разреженным газом. По мере увеличения  $L/r_w$  влияние несоответствия между отдельными критериями подобия на суммарные характеристики уменьшается. Некоторые из них, например  $St_\Sigma \sqrt{Re_{0r_w}}$ , для подобных тел становятся универсальными, не зависящими от  $Re_{0r_w}$ .

Для затупленных кромок ( $j = 0$ ), образующие которых задавались в виде парабол, результаты аналогичных численных исследований при натурных условиях обтекания ( $M_\infty = 25$ ,  $t_w = 0,02$ ) приведены на рис. 5, а, б ( $\chi = 0$  и  $45^\circ$  соответственно), где показано изменение суммарных характеристик  $C_x$  и  $St_\Sigma \sqrt{Re_{0r_w}}$  в зависимости от относительной длины тела  $L/r_w$  при  $Re_{0r_w} = 16; 32; 64$  (линии 1—3). Кроме снижения сопротивления и суммарного теплового потока к затупленным кромкам при увеличении угла стреловидности  $\chi$ , переход от осесимметричного случая ( $j = 1$ ) к плоскому ( $j = 0$ ) не вносит каких-либо других качественных изменений в поведении этих характеристик.

#### ЛИТЕРАТУРА

1. Гершбейн Э.А., Пейгин С.В., Тирский Г.А. Сверхзвуковое обтекание тел при малых и умеренных числах Рейнольдса // Итоги науки и техники. Сер. МЖГ.— М.: ВИНИТИ, 1985.— № 19.
2. Гусев В. Н., Провоторов В. П., Рябов В. В. О роли физико-химических процессов в задачах моделирования гиперзвуковых течений разреженного газа // Учен. зап. ЦАГИ.— 1981.— Т. 12, № 4.
3. Гусев В. Н., Провоторов В. П. Моделирование натурных условий высотного полета в аэродинамических трубах // Учен. зап. ЦАГИ.— 1982.— Т. 13, № 3.
4. Денисенко О. В., Провоторов В. П. Исследование течений вязкого газа при умеренных числах Рейнольдса // Тр. ЦАГИ.— 1985.— Вып. 2269.
5. Гусев В. Н., Ерофеев А. И. и др. Теоретические и экспериментальные исследования обтекания тел простой формы гиперзвуковым потоком разреженного газа // Тр. ЦАГИ.— 1977.— Вып. 1855.
6. Гусев В. Н., Никольский Ю. В. Экспериментальное исследование теплопередачи в критической точке сферы в гиперзвуковом потоке разреженного газа // Учен. зап. ЦАГИ.— 1971.— Т. 2, № 1.
7. Nomura S. Correlation of hypersonic stagnation point heat transfer at low Reynolds numbers // AIAA J.— 1983.— V. 21, N 11.
8. Ларина И. Н., Рыков В. А. Влияние вращательных степеней свободы молекул на потоки энергии в разреженном газе // Изв. АН СССР. МЖГ.— 1977.— № 5.
9. Брыкина И. Г., Гершбейн Э. А. Гиперзвуковой вязкий ударный слой на стреловидных крыльях бесконечного размаха, обтекаемых под углом атаки // Изв. АН СССР. МЖГ.— 1979.— № 2.
10. Гершбейн Э. А., Щелин В. С., Юницкий С. А. Численное исследование гиперзвукового вязкого ударного слоя на крыльях бесконечного размаха, обтекаемых под углом атаки и скольжения // Изв. АН СССР. МЖГ.— 1984.— № 2.
11. Провоторов В. П., Степанов Э. А. Численное исследование вязкого ударного слоя в окрестности критической точки при наличии вдува газа // Учен. зап. ЦАГИ.— 1985.— Т. 16, № 4.
12. Гусев В. Н., Климова Т. В., Черникова Л. Г. Экспериментальный контроль изменения тепловых потоков с помощью двухслойных термоиндикаторных покрытий // Учен. зап. ЦАГИ.— 1983.— Т. 14, № 5.
13. Климова Т. В., Черникова Л. Г. Исследование теплопередачи в гиперзвуковом потоке разреженного газа. Динамика разреженных газов // Тр. VI Всесоюз. конф.— Новосибирск, 1980.— Ч. 2.

г. Москва

Поступила 26/VI 1986 г.